



Introdução a Ciência dos Materiais

IMPERFEIÇÕES NO SÓLIDO

Professora: Maria Ismenia Sodero

maria.ismenia@usp.br

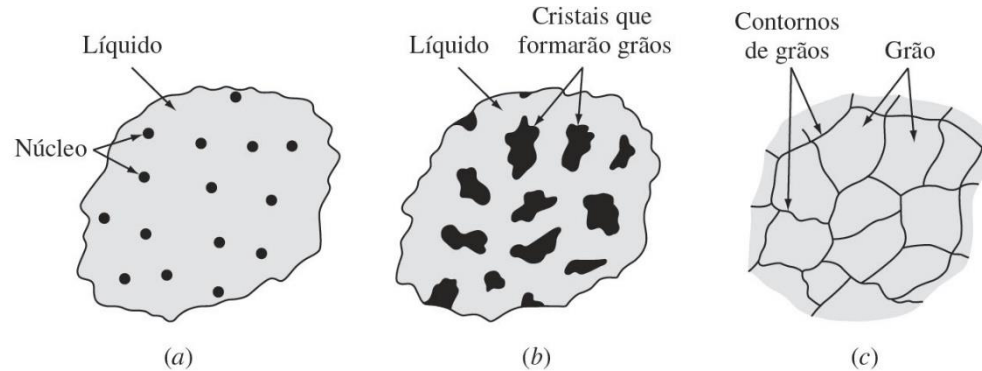


Tópicos abordados

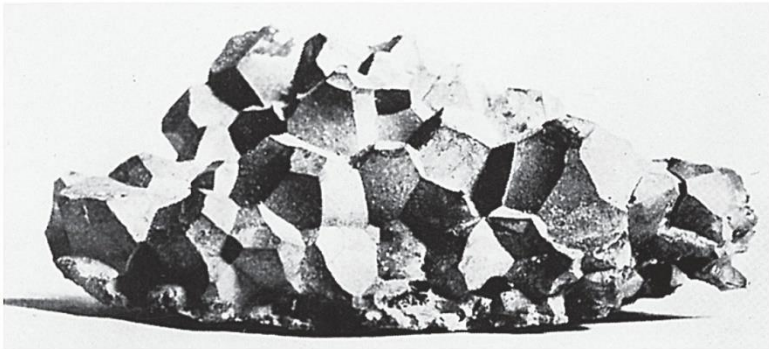
1. Quais os tipos de defeitos podem ocorrer nos sólidos?
2. Como é possível controlar o número e o tipo de defeitos nos sólidos?
3. Como os defeitos afetam as propriedades dos materiais?
4. Os defeitos são indesejáveis?



Solidificação dos metais



Esquema ilustrativo das várias etapas da solidificação de metais: (a) formação de núcleos, (b) crescimento de núcleos formando cristais, (c) união dos cristais para formar grãos e os contornos de grãos. Observe que os grãos são orientados aleatoriamente.



Um conjunto de grãos, retirados a golpe de martelo de um lingote de titânio fundido a arco. O conjunto preservou as reais facetas de ligação entre as estruturas dos grãos da estrutura bruta de solidificação. (Aumento de $1/6 \times$.)

(W. Rostoker and J.R. Dvorak, "Interpretation of Metallographic Structures." Academic, 1965, p. 7.)

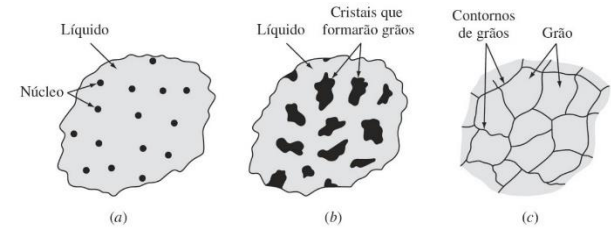


Crescimento de cristais no meio liquido

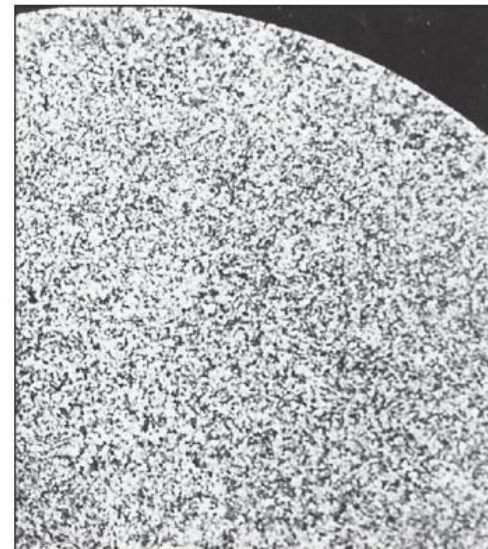
O número de locais de nucleação disponíveis no metal para a solidificação afeta a estrutura de grão do metal sólido obtido.

Numero de locais pequenos – estrutura grosseira ou de grão grosso;

Refinador de grão: adicionado para obter grãos menores. Ex: ligas de alumínio adicionam-se: titânio, boro ou zircônio



(a)



(b)

Regiões das seções transversais de dois lingotes da liga 6063 (Al–0,7% Mg–0,4% Si) com 15 cm de diâmetro, que foram vazados por um processo semicontínuo de fundição direta em coquilha. No caso do lingote (a) não foi adicionado qualquer refinador de grão; notar os grãos colunares e as colônias de cristais com a forma de penas, próximo ao centro da seção. O lingote (b) foi vazado com adição de um refinador e apresenta uma estrutura de grão fina e equiaxial. (Reagente de Tucker; tamanho real.)



Formação de estrutura de grãos

Grãos equiaxiais: o elevado super-resfriamento que se verifica junto às paredes frias do molde origina uma concentração relativamente grande de núcleos – crescimento igual em todas as direções;

Grãos colunares: grosseiros, alongados e estreitos – gradiente de temperatura acentuado – poucos núcleos de solidificação;

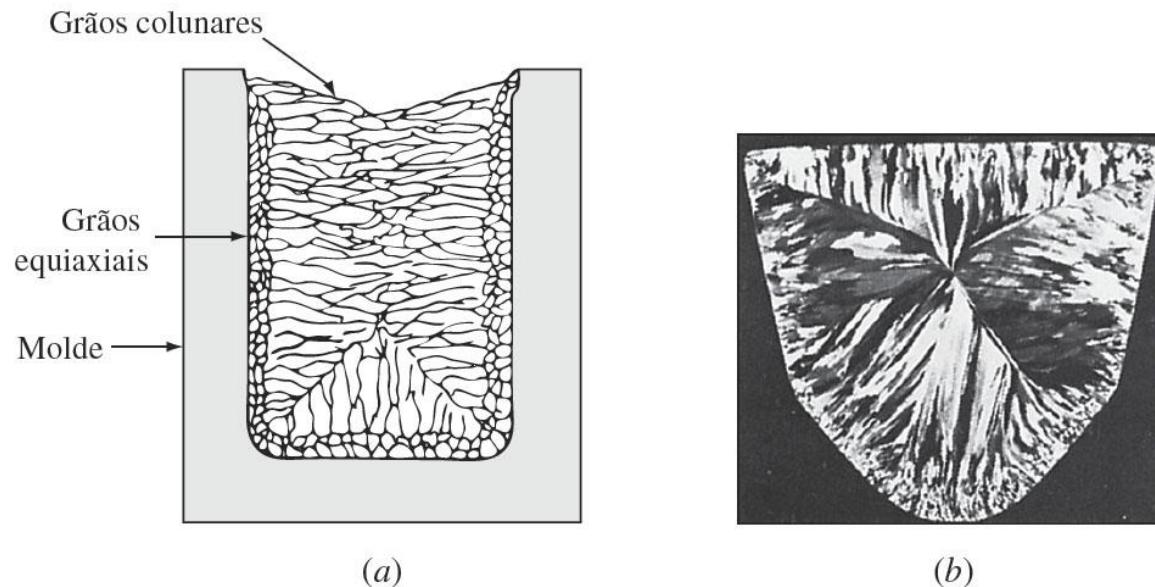


Figura 4.7(a) Esquema da estrutura de grão de um metal solidificado em um molde frio. (b) Seção transversal de um lingote da liga de alumínio 1100 (99,0% Al) fundido pelo processo Properzi (processo de fundição centrífuga). Note-se a consistência com que os grãos colunares cresceram perpendicularmente às paredes do molde.



O Cristal Real

Defeitos cristalinos = **imperfeições ou irregularidade** na rede cristalina

Os cristais reais apresentam inúmeros defeitos, que são classificados por sua “dimensionalidade”.

- Defeitos Pontuais (dimensão zero)

Vacâncias

Impurezas intersticiais e substitucionais

- Defeitos Lineares (dimensão um)

Discordâncias (dislocations)

- Defeitos Planares (dimensão dois)

Interfaces e fronteiras de grão, contornos de macla, defeitos de falha de empilhamento,

- Defeitos Volumétricos (dimensão três)

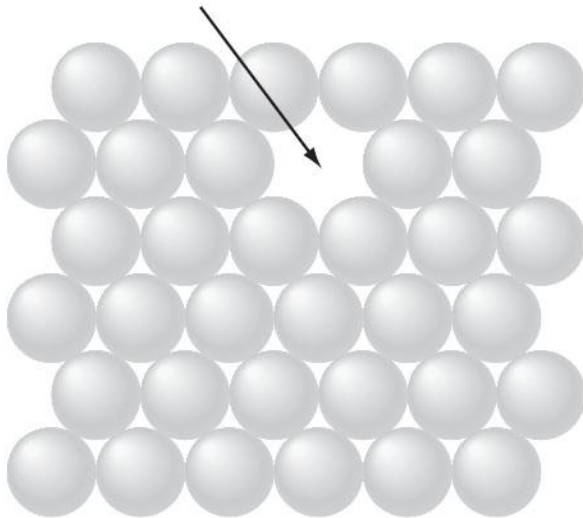
Vazios, fraturas, inclusões e outras fases.



Defeitos Pontuais

Vacância ou Lacuna

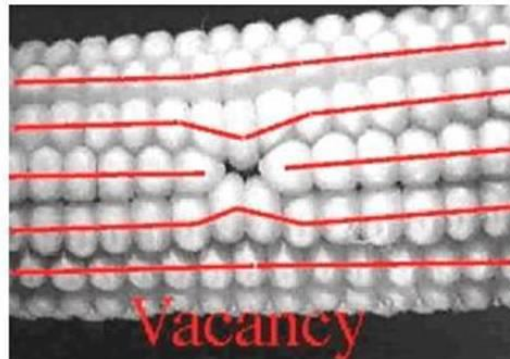
Vazios ou Lacunas



(a)

(a) Defeito pontual de lacuna;

- Sítio vago na rede cristalina
- Todos os sólidos cristalinos têm lacunas – aumento de entropia (aleatoriedade) de um cristal;
- Podem ser originadas durante a solidificação – perturbação local durante crescimento cristal – rearranjo dos átomos – mobilidade atômica;
- Podem ser introduzidas por:
 - Deformação plástica;
 - Resfriamento rápido;
 - Bombardeamento com partículas de alta energia

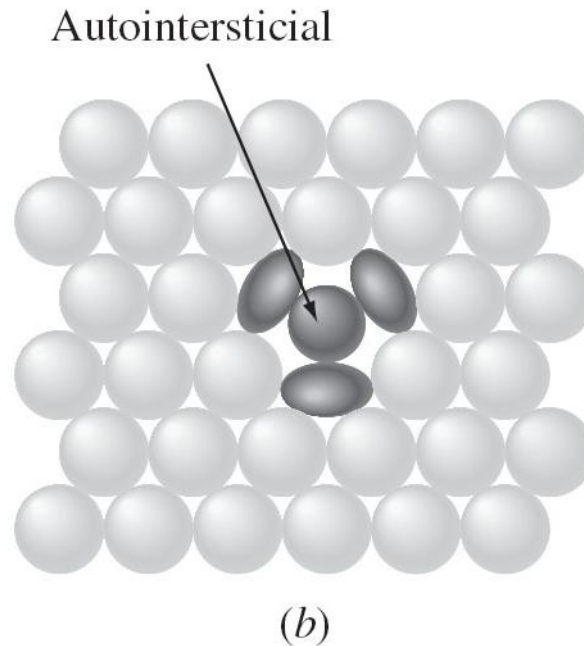




Defeitos Pontuais

Autointersticial

Formação deste defeito não é muito provável – introduz distorções relativamente grandes na sua vizinhança – pode ser introduzido por irradiação.



(b) defeito pontual autointersticial ou intersticial na rede compacta de um metal sólido.



Concentração de defeitos

Para formar defeitos é necessário dispor de energia. Normalmente esta energia é dada na forma de energia térmica. Isto quer dizer que quanto maior a temperatura, maior será a concentração de defeitos.

Para muitos tipos de defeitos vale o seguinte:

$$C_D = \frac{N_D}{N} = \exp\left(\frac{-Q_D}{kT}\right) \quad N_D = N e^{\left(\frac{-Q_D}{kT}\right)}$$

$$N = \frac{N_A \rho}{A}$$

N = número de sítios atômicos
 N_A = número de Avogadro
 ρ = densidade
A = peso atômico

Onde:

C_D = concentração de defeitos

N_D = número de lacunas em condições de equilíbrio

N = número total de sítios

Q_D = energia de ativação para o defeito

k = constante de Boltzmann

T = temperatura absoluta em Kelvin

O número de vazios aumenta exponencialmente quando aumenta-se a temperatura.



Exemplo de cálculo do número de lacunas

Calcule o número de lacunas ou vazios em equilíbrio (em vazios atômicos por metro cúbico) de cobre a uma temperatura de 1000°C. A energia para a formação de um vazio é de 0,9 eV/átomo. O peso atômico e a massa específica a 1000°C para o cobre são de 63,5 g/mol e 8,4 g/cm³, respectivamente. A constante de Boltzmann é igual a 8,62x10⁻⁵ eV/át.K

Dados:

$$T = 1000^{\circ}\text{C} = 1273 \text{ K}$$

$$Q_v = 0,9 \text{ eV/átomo}$$

$$A = 63,5 \text{ g/mol}$$

$$\rho = 8,4 \text{ g/cm}^3 = 8,4 \times 10^6 \text{ g/m}^3$$

$$k = 8,62 \times 10^{-5} \text{ eV/át.K}$$



Solução:

1. É necessário determinar, N , o número de posições atômicas por m^3 :

$$N = \frac{\text{Número de Avogadro} \times \text{Massa específica}}{\text{Peso atômico}} = \frac{N_A \cdot \rho}{A}$$

$$N = \frac{(6,023 \times 10^{23})(8,4 \times 10^6)}{63,5} = 8,0 \times 10^{28} \text{ átomos/m}^3$$

2. Calcular o número de vazios em equilíbrio, na temperatura de 1000°C :

$$N_D = N e^{\left(\frac{-Q_v}{kT}\right)} = 8,0 \times 10^{28} e^{\left(\frac{-0,9}{(8,62 \times 10^{-5})(1273)}\right)}$$

$$N_D = 2,2 \times 10^{25} \text{ vazios atômicos/m}^3$$



DEFEITOS PONTUAIS IMPUREZAS

Átomos estranhos (impurezas ou elementos de liga) sempre estarão dispersos na estrutura cristalina.

Utilizando técnicas de refino é muito difícil e caro retirar as impureza dos metais.

Os processos metalúrgicos geralmente produzem metais com uma quantidade de impurezas que varia em geral de menos de 0,01% e cerca de 2,0% em peso.

Em metais com pureza superior a 99,9999% estão, ainda, presentes cerca de 10^{22} a 10^{23} impurezas por m^3 de metal.



DEFEITOS PONTUAIS - IMPUREZAS

Nas ligas metálicas, átomos de impurezas são adicionados intencionalmente para conferir características específicas ao material, como aumentar a sua resistência mecânica, sua resistência à corrosão, sua conformabilidade ou outra propriedade específica.

Essas impurezas afetam em maior ou menor grau as propriedades dos metais.

- Se a influência das impurezas é mínima ou nula diz-se que o metal é comercialmente puro, possuindo pureza variável entre 99,0 a 99,99%.
- Alguns metais como o cobre, zinco e chumbo podem, por exemplo, ser produzidos com uma pureza próxima a 99,99%.



Por que átomos de impureza são adicionados intencionalmente?

- aumentar resistência mecânica,*
- aumentar resistência à corrosão,*
- aumentar condutividade elétrica,*

Adição de átomos de impureza

- solução sólida,*
- segunda fase.*

** Depende do tipo de impureza, concentração, temperatura*



Soluções sólidas metálicas

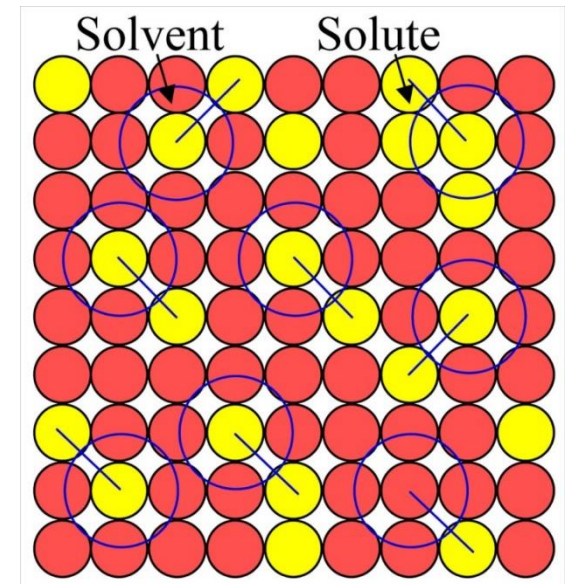
A adição de átomos de impurezas em um metal irá resultar na formação de uma solução sólida e/ou uma nova fase, dependendo dos tipos de impurezas e de suas concentrações.

Solução sólida: uma fase cristalina homogênea que contém dois ou mais componentes químicos.

Fase: Porção homogênea de um sistema que possui características físicas e químicas uniformes.

Solvente- na solução representa o elemento que está presente em maior quantidade;

Soluto- na solução representa o elemento que está presente em menor quantidade.



As soluções sólidas podem ser:

- Substitucionais
- Intersticiais



Exemplos

Prata 950 ou Prata de lei: é uma liga composta por 92,5% de prata e 7,5% de cobre.

- Em temperatura ambiente, a prata pura não apresenta resistência mecânica elevada.
- A formação de uma liga com o cobre aumenta significativamente a resistência mecânica.

Curiosidade: O termo Prata de Lei foi estabelecido no século XIII pelo rei de Portugal Dom Afonso II ao decretar uma lei que punia quem fabricasse peças de prata com ligas com teor de prata inferior ao da prata 950, sendo que este mantém-se até hoje como padrão internacional na fabricação de jóias de prata.



Ouro 18k (ou 750): é uma liga composta por 75% ouro e 25% de cobre.

- O ouro puro se utilizado em jóias, por exemplo, não resistiria aos esforços mecânicos do dia-a-dia, uma simples pressão de um aperto de mão ao se cumprimentar uma pessoa deformaria uma aliança. Ao ser ligado com cobre, a liga ouro-cobre adquire resistência mecânica.



Exemplos

Latão: é uma liga metálica formada por cobre e zinco, com porcentagens de zinco variando entre 3 e 45% em peso.

- São utilizados na fabricação de objetos de uso doméstico, como tachos e bacias e de instrumentos musicais de sopro, entre outros.





Exemplos

Inconel 718 (mais de 10 elementos)

- O Inconel 718 é uma liga de níquel, cromo, molibdênio projetada para resistir a uma ampla gama de ambientes severamente corrosivos, corrosão por pite e em fresta.
- Exibe rendimento excepcionalmente alto, tração, fluência e ruptura por propriedades em altas temperaturas.
- Esta liga de níquel é usado desde temperaturas criogênicas até serviço a longo prazo em 1200 ° C.

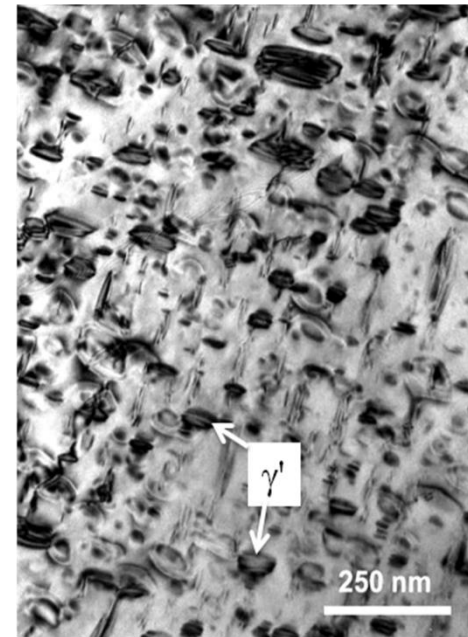


Figura 2 - Micrografia obtida por MET da amostra de Inconel 718 no estado bruto de fusão mostrando a fase γ' (morfologia esférica).



Solução Sólida Substitucional

Nos defeitos substitucionais, os átomos de soluto repõem ou substituem os átomos do solvente.

A solubilidade máxima dos átomos do soluto na rede do solvente depende de:

Fator tamanho atômico;

Estrutura cristalina

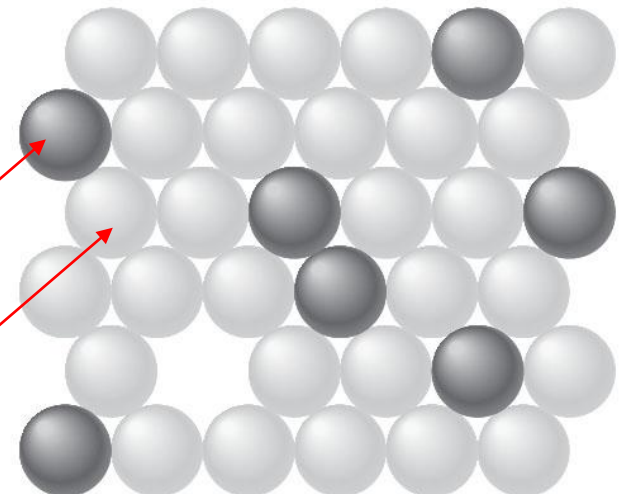
Eletronegatividade

Valência

Solução sólida substitucional. Os círculos escuros representam um tipo de átomos, e, os claros, outro. O plano atômico é o plano (111) de uma rede cristalina CFC.

Átomos de soluto

Átomos de solvente





Ex. substitucional: Cu-Ni, completamente solúveis um no outro

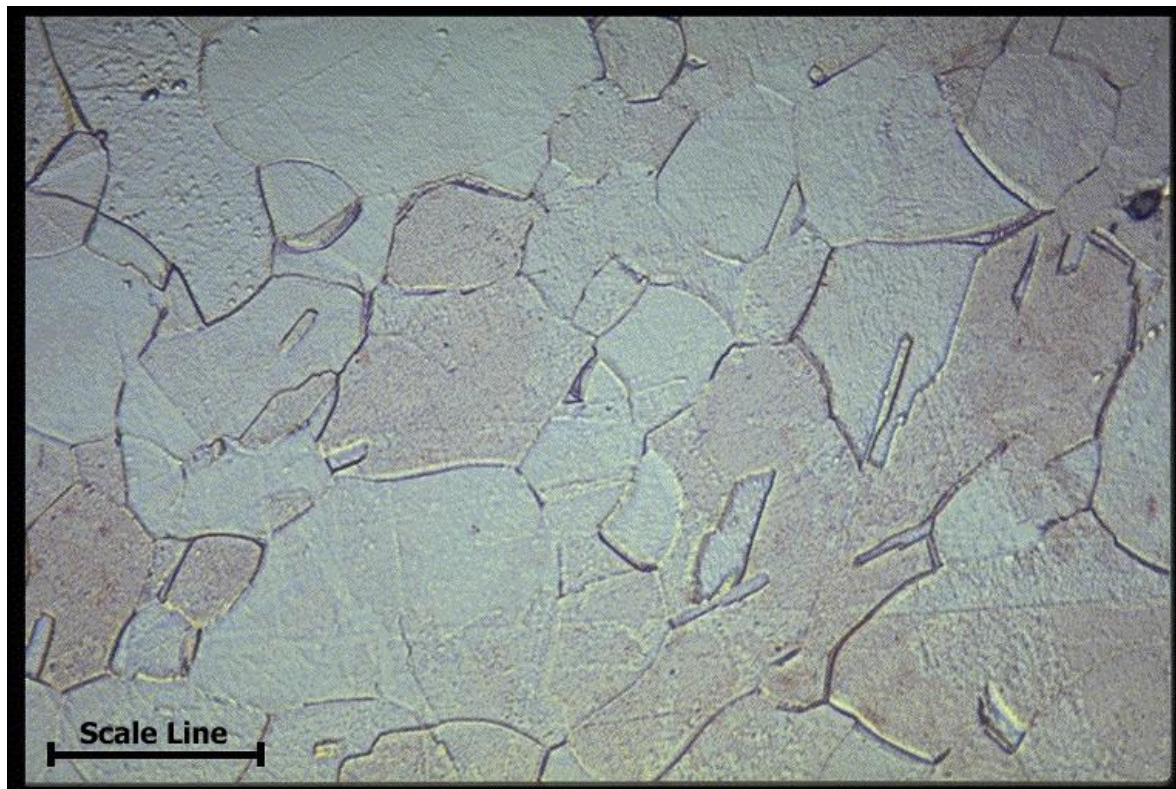
$$R_{\text{Cu}} = 0,128\text{nm}$$

$$R_{\text{Ni}} = 0,125\text{nm}$$

Ambos CFC

Eletronegatividades 1,9 e 1,8

Valências: Cu (mais comum +1, às vezes +2); Ni (+2)

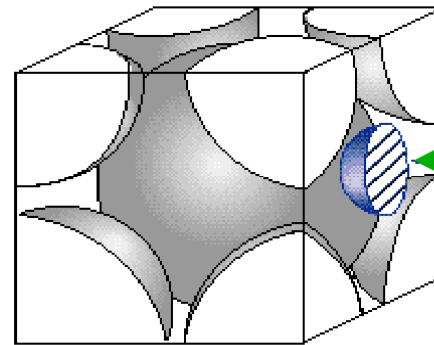


Liga Ni-Cu
Monofásica



Solução sólida intersticial

- Neste caso, átomos intersticiais (soluto) estão posicionados nos interstícios (ou espaços vazios) das células cristalinas do solvente, formando uma solução sólida intersticial.
- **Impureza tipo intersticial:** ocorre quando a diferença de tamanho entre soluto e solvente é grande; **geralmente a impureza (soluto) apresenta raio atômico bem menor que o do solvente.**
- Os átomos do soluto se alocam nos vazios (interstícios) da rede cristalina do solvente. Isso, produz uma distorção no reticulado, já que o átomo intersticial, geralmente, é maior que o espaço do interstício.



Átomo de Carbono ocupando um interstício na estrutura ccc do Ferro

Exemplo: Fe-C

Raio atômico: Fe: 0,140 nm

C: 0,070 nm

Raio atômico do Ferro +15%: 0,161 nm

Raio atômico do Ferro -15%: 0,119 nm

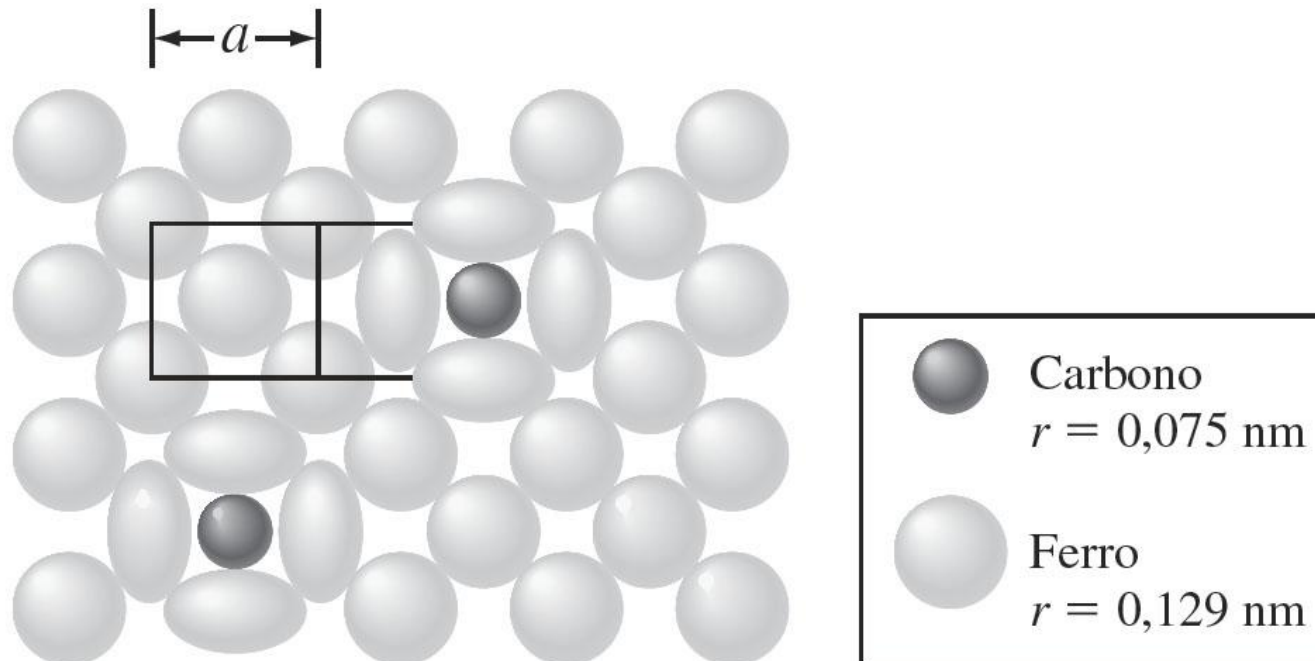


Solução Sólida Intersticial

Esquema mostrando uma solução sólida intersticial de carbono em ferro γ CFC em um plano (100) imediatamente acima de 912°C. Note-se a distorção dos átomos de ferro γ (raio = 0,129 nm) em volta dos átomos de carbono (raio = 0,075 nm). Diferença atômica é de 42%.

O raio do maior interstício do CFC é 0,053 nm de raio, e uma vez que o raio atômico do C é 0,075, não é de se surpreender que a solubilidade máxima do carbono no Fe γ seja apenas 2,08%.

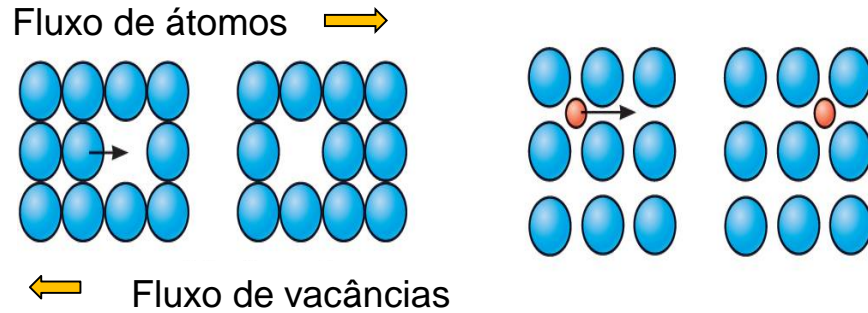
No Fe α CCC, o raio do maior interstício é apenas de 0,036nm e, como resultado, imediatamente abaixo de 723°C apenas pode se dissolver intersticialmente 0,025%C.





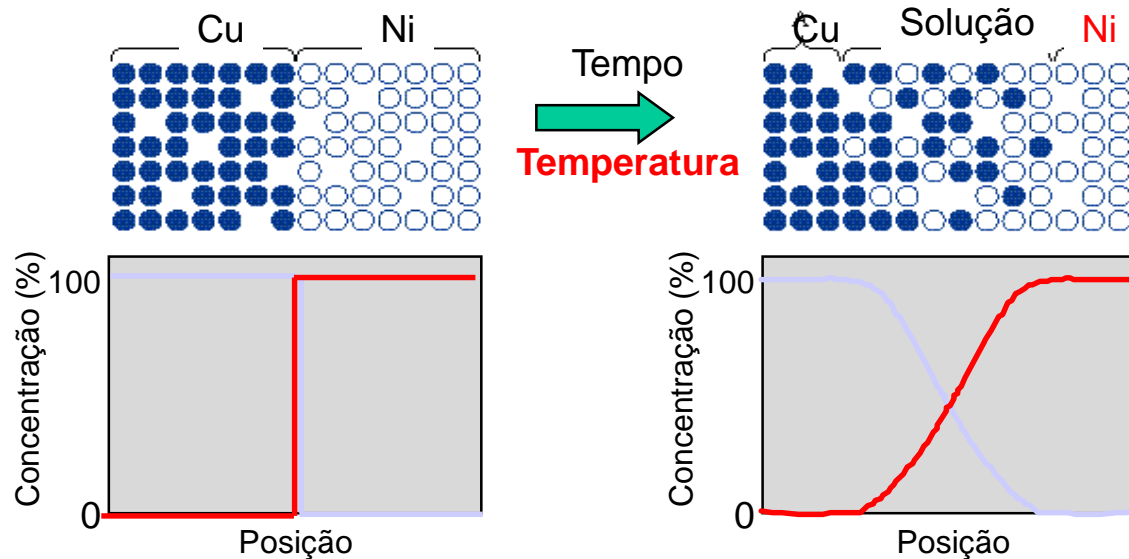
Difusão

Devido à presença de vacâncias e interstícios, é possível haver movimento de átomos de um material dentro de outro material.



(a) Difusão por lacunas

(b) Difusão intersticial

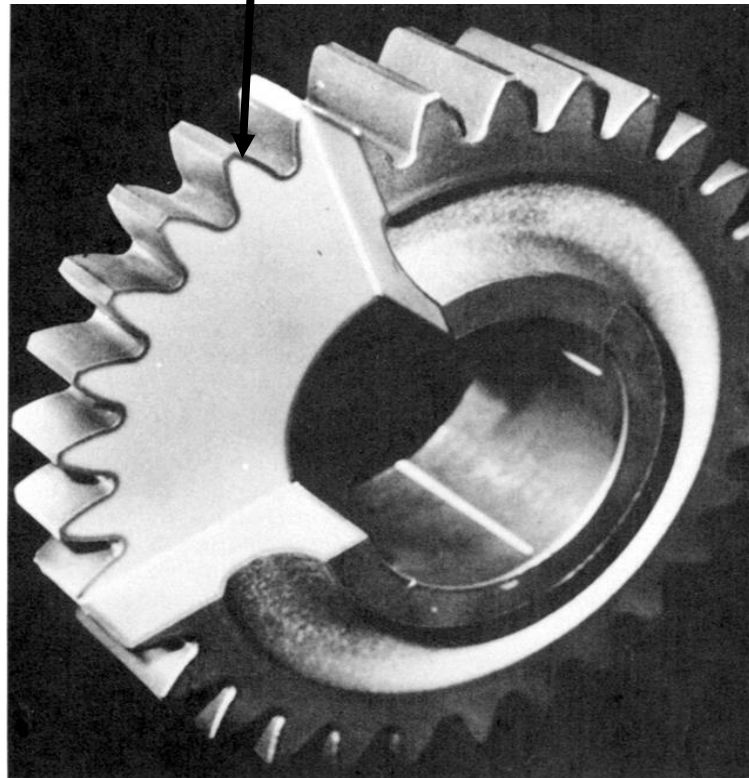




Difusão - exemplo

É possível endurecer uma camada superficial de uma peça de aço através da difusão de carbono. Isto é obtido expondo a peça a uma atmosfera rica em hidrocarbonetos (ex. CH_4) a alta temperatura.

Camada carbonetada





Especificação da composição de uma liga

Pode ser dada em porcentagem em peso (ou massa) ou porcentagem atômica.

$$C_1 = \frac{m_1}{m_1 + m_2} \times 100$$

$$C_1 + C_2 = 100$$

Liga binária:

C_1 – porcentagem em peso do elemento 1;

m_1 – massa do elemento 1;

m_2 – massa do elemento 2.



A base para o cálculo da porcentagem atômica é o número de mols de um elemento em relação ao número total de mols de todos os elementos na liga.

$$n_{m1} = \frac{m'_1}{A_1}$$

$$C'_1 = \frac{n_{m1}}{n_{m1} + n_{m2}} \times 100$$

$$C'_1 + C'_2 = 100$$

m'_1 – massa do elemento 1 (em gramas);
 A_1 – peso atômico do elemento 1;
 C'_1 – porcentagem atômica do elemento 1;
 n_{m1} – número de mols do elemento 1;
 n_{m2} – número de mols do elemento 2.



Conversões entre composições (liga binária)

$$C'_1 = \frac{C_1 A_2}{C_1 A_2 + C_2 A_1} \times 100$$

$$C'_2 = \frac{C_2 A_1}{C_1 A_2 + C_2 A_1} \times 100$$

$$C_1 = \frac{C'_1 A_1}{C'_1 A_1 + C'_2 A_2} \times 100$$

$$C_2 = \frac{C'_2 A_2}{C'_1 A_1 + C'_2 A_2} \times 100$$

C_1 – porcentagem em peso do elemento 1;

C_2 – porcentagem em peso do elemento 2;

C'_1 – porcentagem atômica do elemento 1;

C'_2 – porcentagem atômica do elemento 2;

A_1 – peso atômico do elemento 1;

A_2 – peso atômico do elemento 2;



Conversão da concentração em porcentagem em peso para massa de um componente por unidade de volume do material

$$C''_1 = \left(\frac{C_1}{\frac{C_1}{\rho_1} + \frac{C_2}{\rho_2}} \right) \times 10^3$$

$$C''_2 = \left(\frac{C_2}{\frac{C_1}{\rho_1} + \frac{C_2}{\rho_2}} \right) \times 10^3$$

C''_1 – massa do componente 1 por unidade de volume (kg/m^3);

C''_2 – massa do componente 2 por unidade de volume (kg/m^3);

C_1 – porcentagem em peso do elemento 1;

C_2 – porcentagem em peso do elemento 2;

ρ_1 – massa específica do componente 1 (g/cm^3);

ρ_2 – massa específica do componente 2 (g/cm^3).



Determinação da massa específica e o peso atômico de uma liga binária a partir da composição (%peso; %atômica)

$$\rho_{\text{méd}} = \frac{100}{\frac{C_1}{\rho_1} x \frac{C_2}{\rho_2}}$$

$$\rho_{\text{méd}} = \frac{C'_1 A_1 + C'_2 A_2}{\frac{C'_1 A_1}{\rho_1} + \frac{C'_2 A_2}{\rho_2}}$$

$$A_{\text{méd}} = \frac{100}{\frac{C_1}{A_1} x \frac{C_2}{A_2}}$$

$$A_{\text{méd}} = \frac{C'_1 A_1 + C'_2 A_2}{100}$$



RESUMO

- Porcentagem em massa

$$C_1 = \frac{m_1}{m_1 + m_2} \times 100$$

- Porcentagem atômica

$$C'_1 = \frac{n_{m1}}{n_{m1} + n_{m2}} \times 100$$

- Conversão

$$C_1 = \frac{C'_1 A_1}{C'_1 A_1 + C'_2 A_2} \times 100$$

$$C'_1 = \frac{C_1 A_2}{C_1 A_2 + C_2 A_1} \times 100$$

- Para converter porcentagem em peso para massa de um componente por unidade de volume:

$$C''_1 = \frac{C_1}{\frac{C_1}{\rho_1} + \frac{C_2}{\rho_2}} \times 10^3$$



Defeitos Lineares

Discordâncias

Podem ser originadas durante a solidificação ou mais comumente durante a deformação;

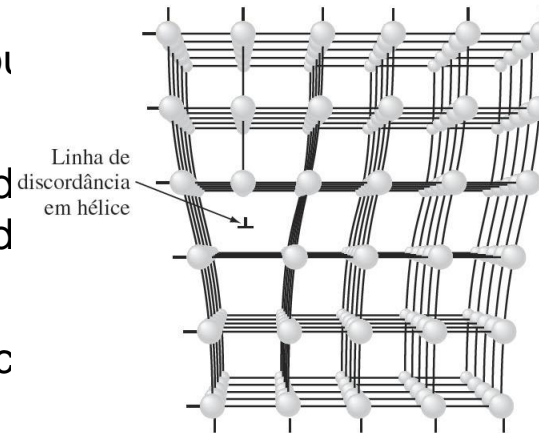
São defeitos lineares. Existe uma linha separando a seção perfeita, da seção deformada do material.

São responsáveis pelo comportamento mecânico dos materiais quando submetidos a cisalhamento. Tensão de cisalhamento teórica
Exemplo: whiskers de carboneto de Si com resistência superior a 40GPa.

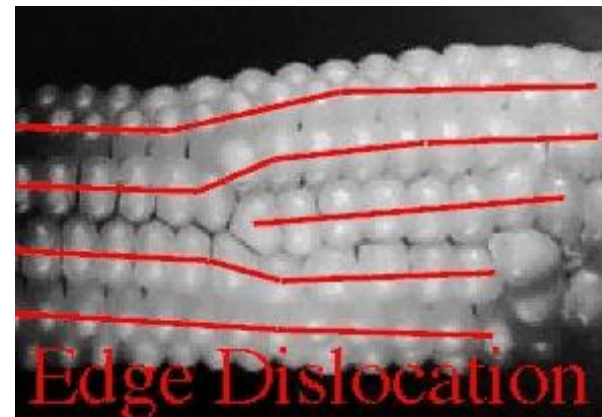
São responsáveis pelo fato de que os metais sofram escoamento em níveis de tensão muito menores do que a tensão teórica.

Existem dois tipos fundamentais de discordâncias:

- Discordância em linha (edge dislocation)
- Discordância em hélice (screw dislocation)



(a)





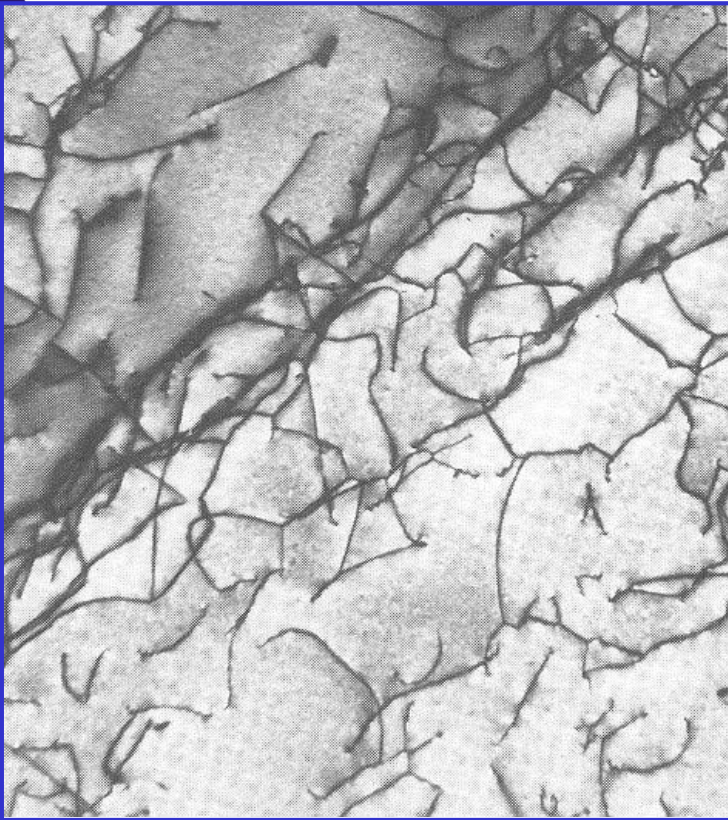
Defeitos Lineares

Discordâncias

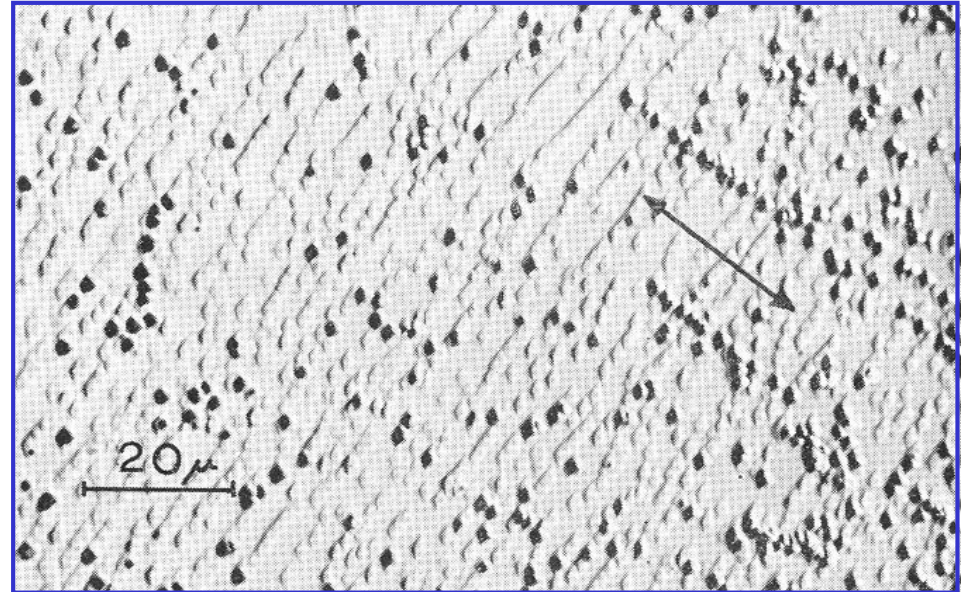
- A quantidade de discordâncias pode ser controlada pelo grau de deformação plástica e/ou por tratamentos térmicos.
 - Nos metais deformados a frio ocorre um aumento na quantidade de discordâncias.
 - Com aumento da temperatura as discordâncias podem se movimentar com maior facilidade, o que favorece o aniquilamento das mesmas.
- Um metal contém em média 10^6 a 10^8 cm de discordâncias por cm^3
- Um metal severamente deformado apresenta cerca de 10^{12} cm de discordâncias por cm^3 .



Defeitos de Linha



Microscopia eletrônica de transmissão de uma lâmina fina de uma liga metálica contendo discordâncias.



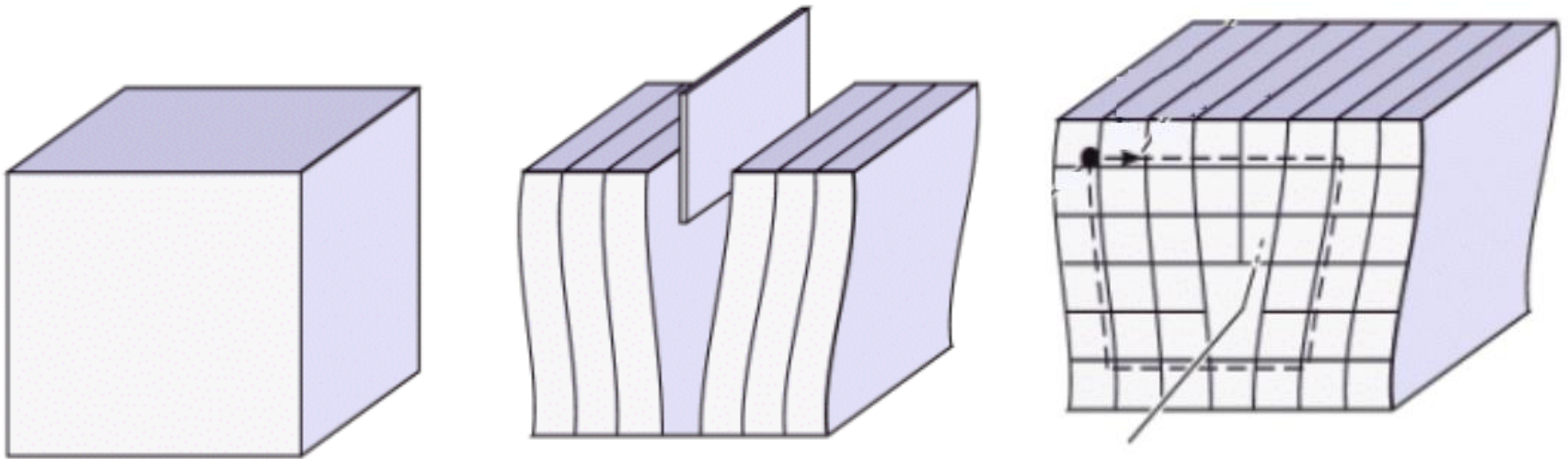
Microscopia óptica de uma liga de cobre. Observam-se pites de corrosão, nos locais onde as discordâncias interceptam a superfície.



Discordância em aresta

Os átomos são deslocados perpendicularmente à linha de discordância

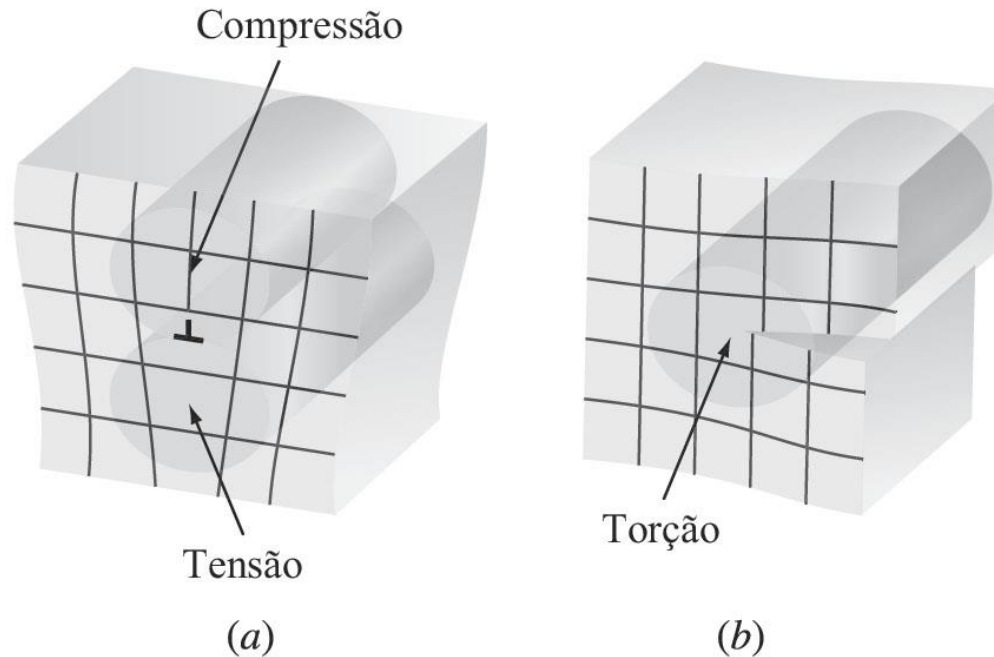
Um defeito cristalino linear associado com a distorção do retículo cristalino que é produzida na vizinhança da extremidade de um semiplano adicional de átomos no interior de um cristal.



(a) Discordância em cunha positiva em uma rede cristalina. Aparece um defeito linear na região imediatamente acima do “tê” invertido, \perp , onde um semiplano atômico foi introduzido.



Campo de deformação ao redor da discordância



(a) Discordância em cunha

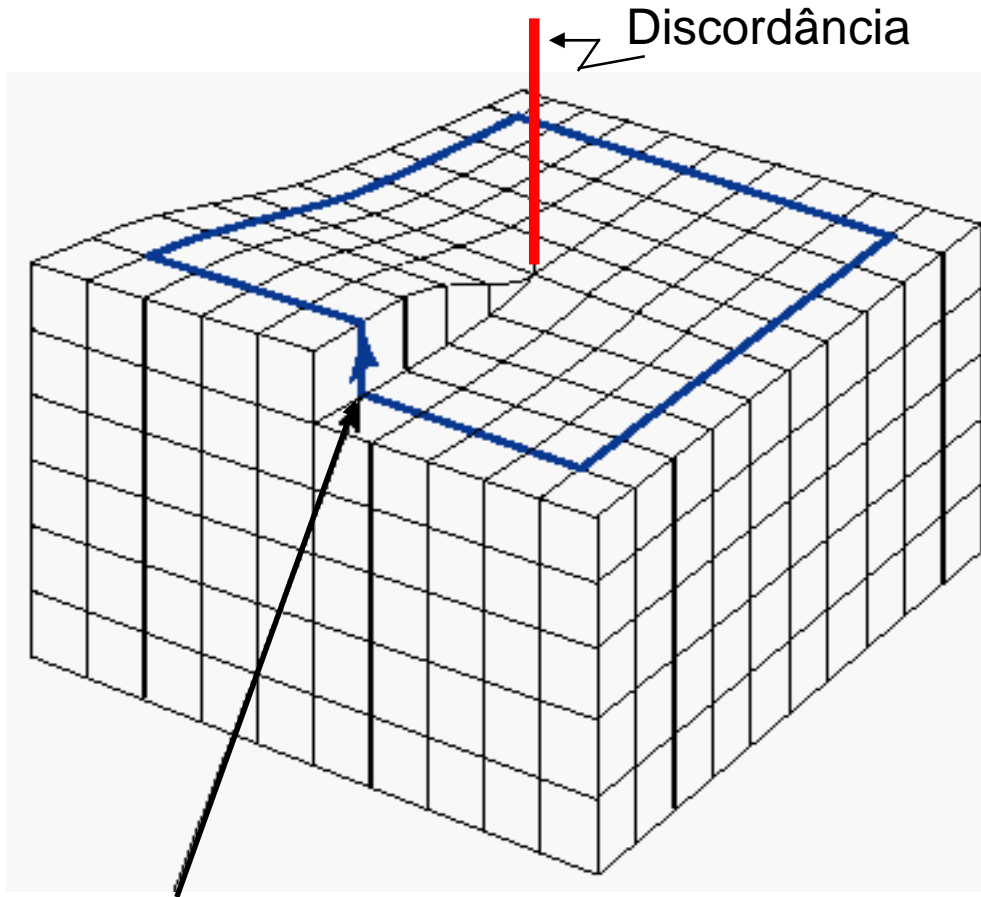
Os átomos acima da linha da discordância são pressionados uns contra os outros – **compressão**;

Enquanto que os átomos abaixo da linha da discordância são puxados uns para longe dos outros – **tração**

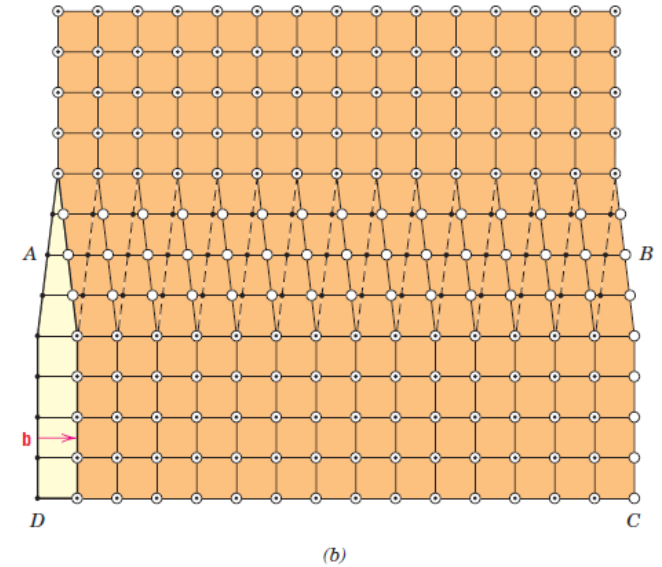
(a) Discordância em hélice: torção



Discordância em Hélice



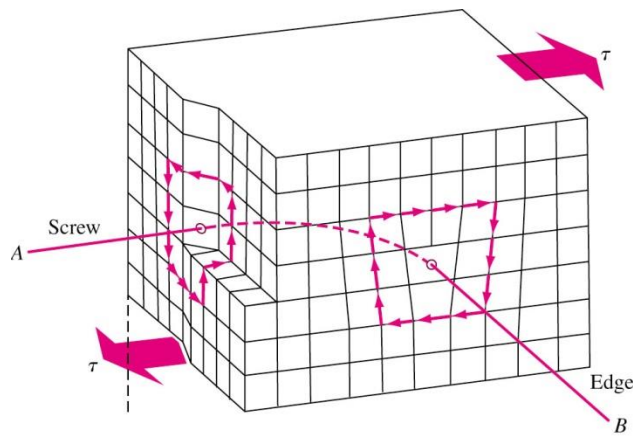
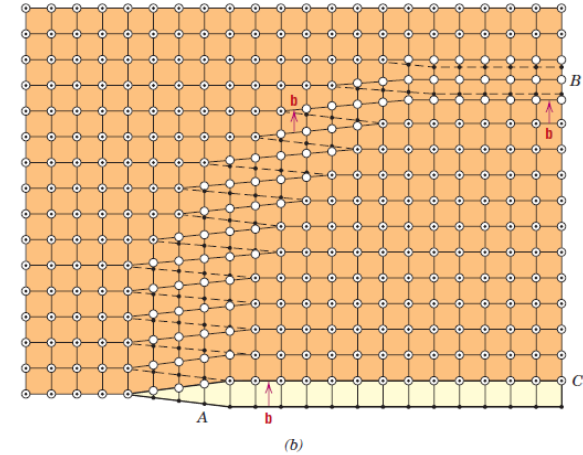
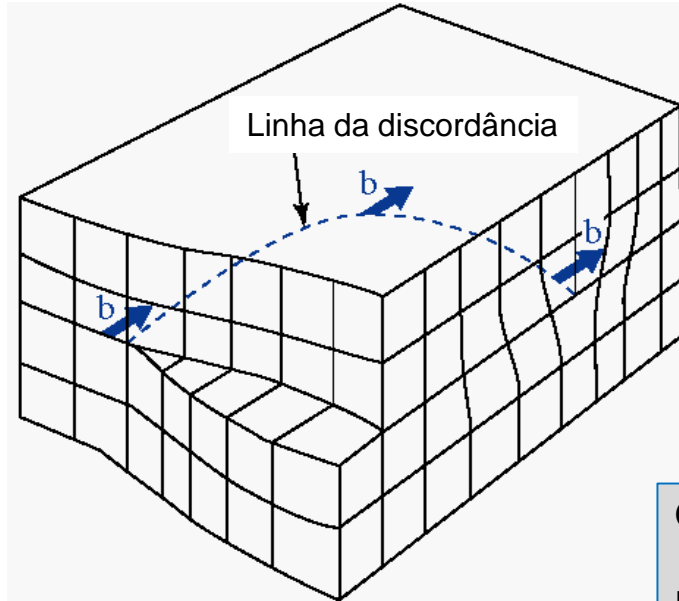
Vetor de Burgers, \mathbf{b}



Neste caso o vetor de Burgers é *paralelo* a discordância.

Uma boa analogia para o efeito deste tipo de discordância é “*rasgar a lista telefônica*”

Discordância mista



O vetor de Burgers mantém uma direção fixa no espaço.

Na extremidade inferior esquerda, onde a discordância é pura hélice, \mathbf{b} é paralelo a discordância.

Na extremidade superior direita, onde a discordância é pura linha, \mathbf{b} é perpendicular a discordância.

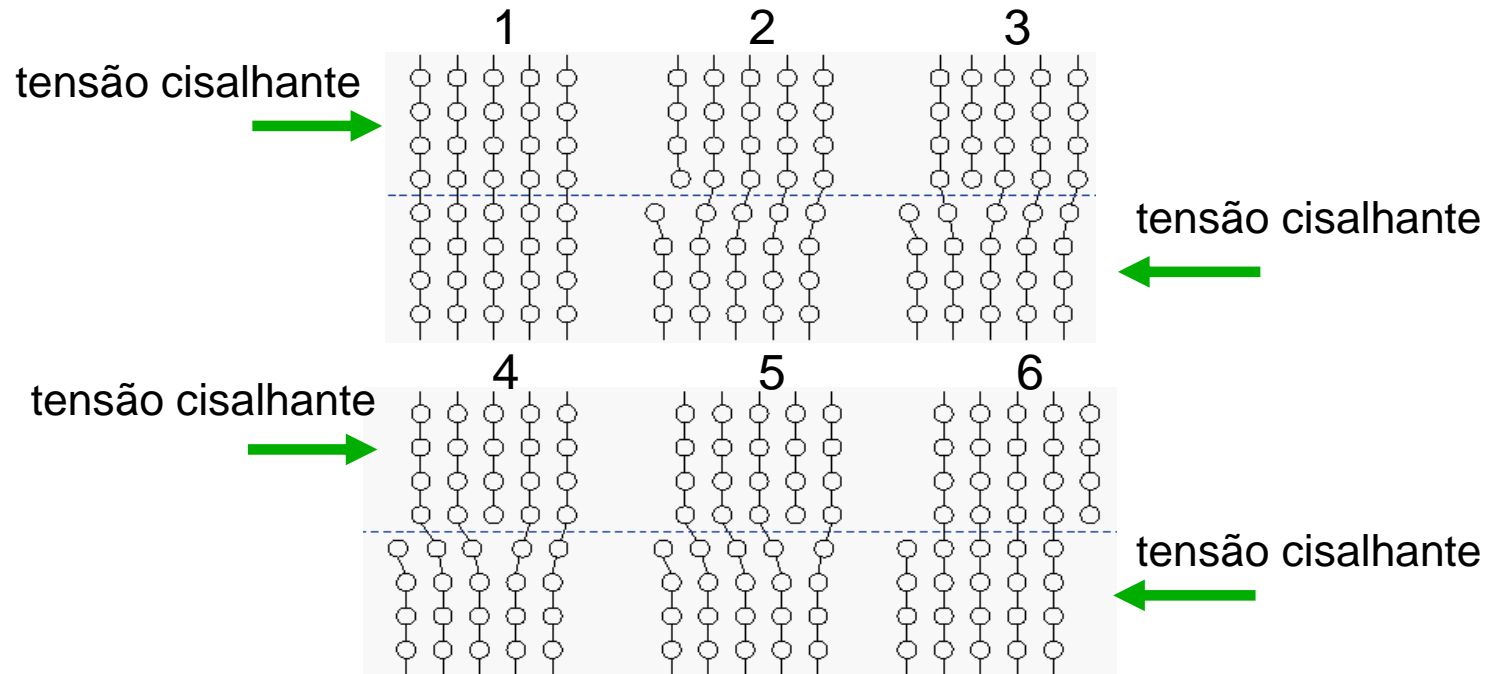


Discordâncias e deformação mecânica

A tensão cisalhante crítica é o valor máximo, acima do qual o cristal começa a cisalhar.

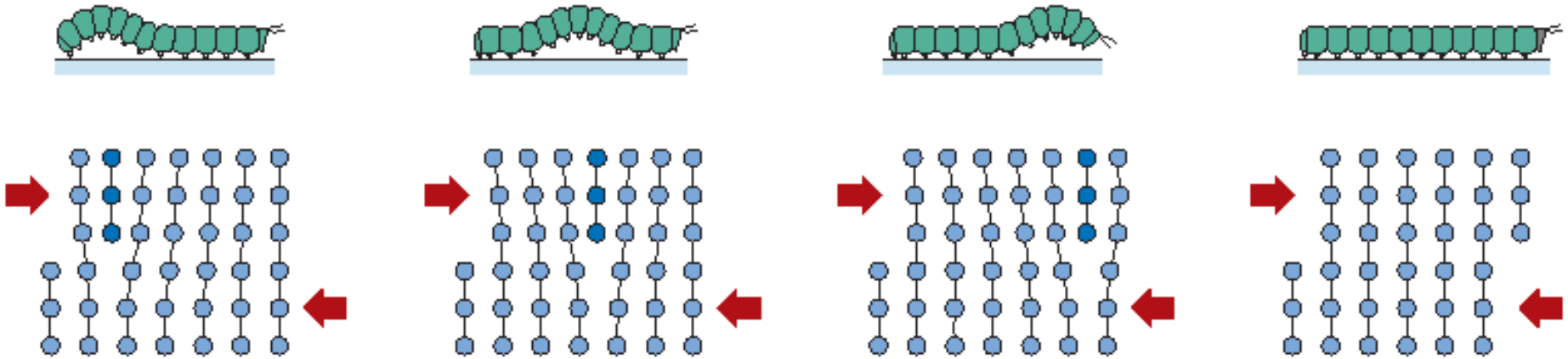
No entanto, os valores teóricos são muito maiores do que os valores obtidos experimentalmente.

As discordâncias reduzem a tensão necessária para cisalhamento, ao introduzir um processo sequencial, e não simultâneo, para o rompimento das ligações atômicas no plano de deslizamento.





DEFEITOS LINEARES - DISCORDÂNCIAS



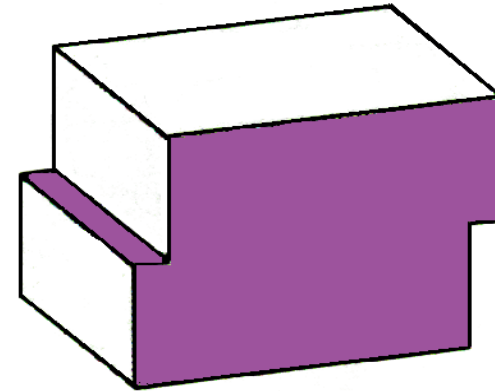
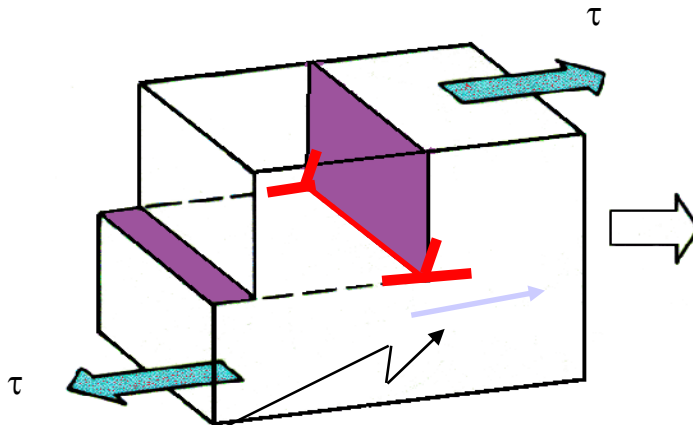
Representação da analogia entre os movimentos de uma lagarta e de uma discordância

Vídeo: Movimento de discordância aresta



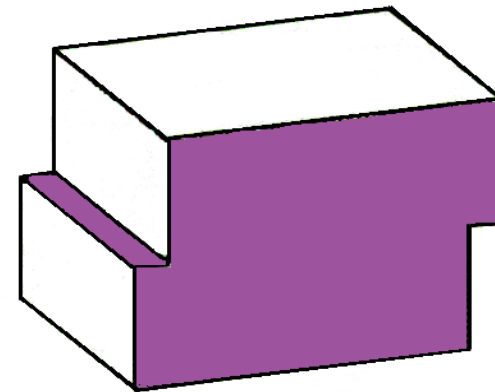
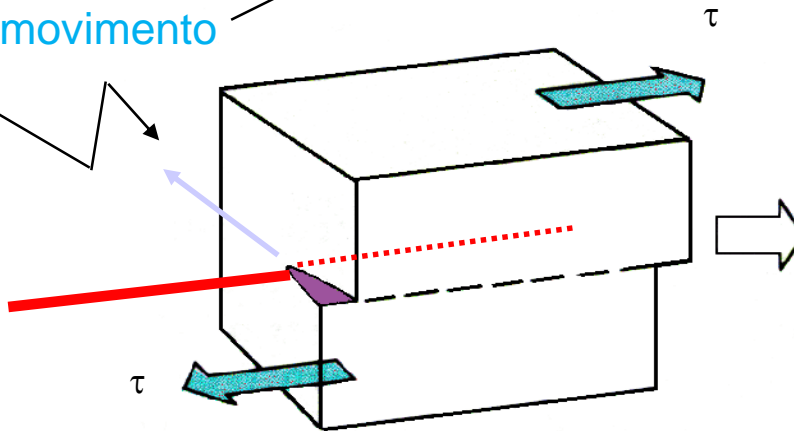
Discordâncias e def. mec. (cont.)

Linha:
mov. na direção
da tensão



O efeito final
é o mesmo.

Direção do movimento



Hélice:
mov. normal a
direção da tensão.



Discordâncias e deformação plástica

A habilidade de um metal em ser deformado de maneira plástica depende da habilidade das discordâncias em se moverem;

PLANO DE ESCORREGAMENTO – SISTEMA DE ESCORREGAMENTO.

As discordâncias não se movem com o mesmo grau de facilidade sobre todos os planos cristalográficos e em todas as direções. Existe um plano preferencial, e neste plano existem direções específicas para ocorrer o movimento das discordâncias.

A restrição ou impedimento do movimento de discordâncias confere maior dureza e mais resistência ao material; - mecanismo de aumento de resistência em metais



Sistemas de deslizamento (cont.)

Estrutura Cristalina	Planos de Deslizamento	Direções de Deslizamento	Número de Sistemas de Deslizamento	Geometria da Célula Unitária	Exemplos
CCC	$\{110\}$ $\{211\}$ $\{321\}$	$\langle 111 \rangle$	$6 \times 2 = 12$ 12 24		α -Fe, Mo, W
CFC	$\{111\}$ —	$\langle 110 \rangle$	$4 \times 3 = 12$		Al, Cu, γ -Fe, Ni
HC	$\{0001\}$ $\{1010\}$ $\{1011\}$	$\langle 1120 \rangle$	3 3 6		Cd, Mg, α - Ti, Zn

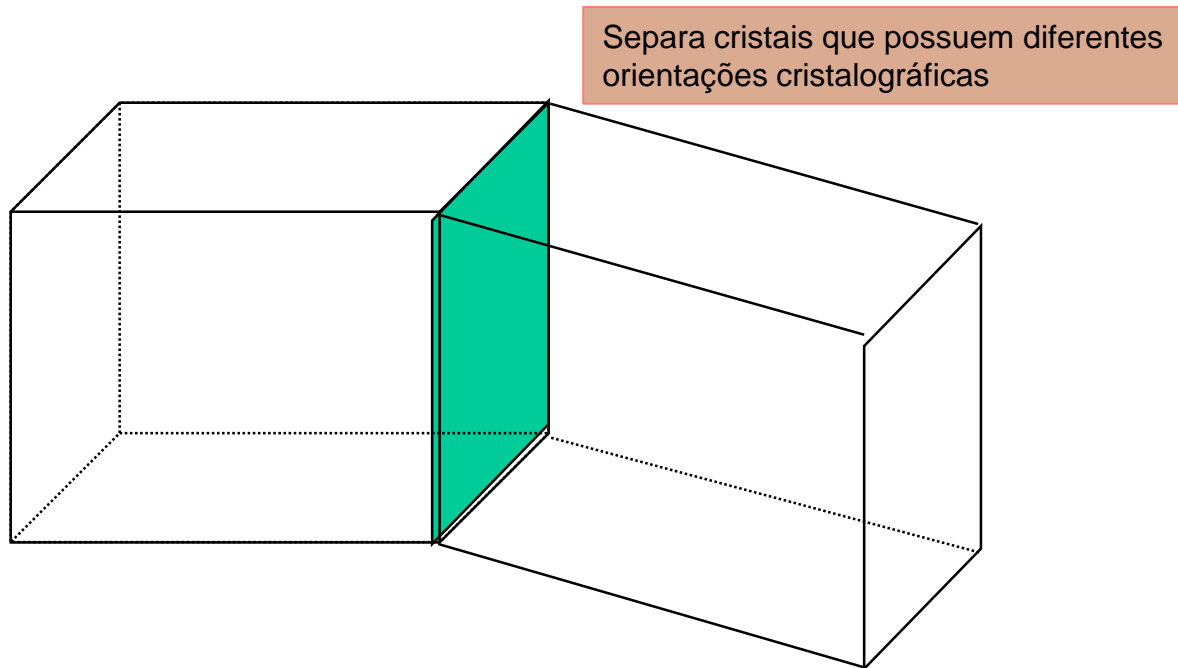


Defeitos Planares

Fronteiras de grão e interfaces

Um material poli-cristalino é formado por muitos mono-cristais em orientações diferentes.

A fronteira entre os monocristais é uma parede, que corresponde a um defeito bi-dimensional.





Defeitos Planares

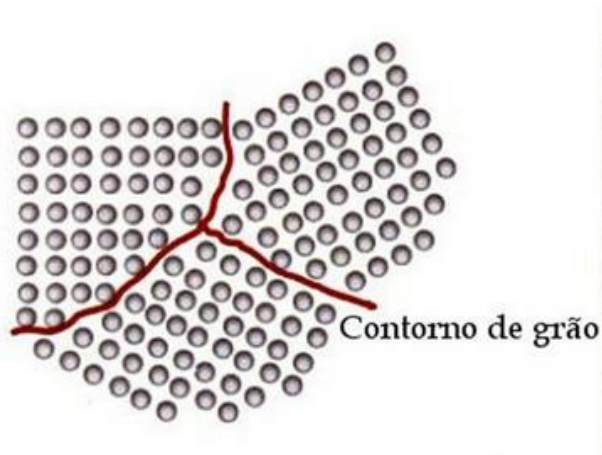
Contorno de grão

Sólidos cristalinos geralmente consistem em um grande número de grãos separados por contornos. Cada grão (ou subgrão) é um monocristal, sendo portanto, uma região de transição entre vizinhos;

O contorno de grão é uma interface que separa dois grãos ou cristais que possuem diferentes orientações cristalográficas em materiais policristalino.

Dentro da região do contorno (espessura do contorno) existem alguns desencontros atômicos na transição da orientação cristalina de um grão para aquela de outro grão adjacente.

São possíveis vários graus de desalinhamento cristalográfico entre grãos adjacentes.



Separa cristais que possuem diferentes orientações cristalográficas



Fronteira de baixo ângulo

- São possíveis vários graus de desalinhamento cristalográficos entre os grãos adjacentes. Quando este desencontro é pequeno, da ordem de apenas poucos graus, = contorno de grão de baixo ângulo ou contorno de inclinação (tilt boundary)
- O mais simples contorno de grão consiste em um arranjo de discordâncias em cunha entre os dois grãos. Pode ser representada por uma sequência de discordâncias em linha.
- A figura mostra alguns planos verticais terminados no contorno e cada terminação é representada por uma discordância em cunha.
- O ângulo de rotação é pequeno ($< 15^\circ$).
- O contorno de baixo ângulo tem tendência de se combinar e formar contornos de maior desorientação, pois a junção de duas interfaces de baixo ângulo, formando um contorno de alto ângulo sempre resulta em decréscimo de energia.

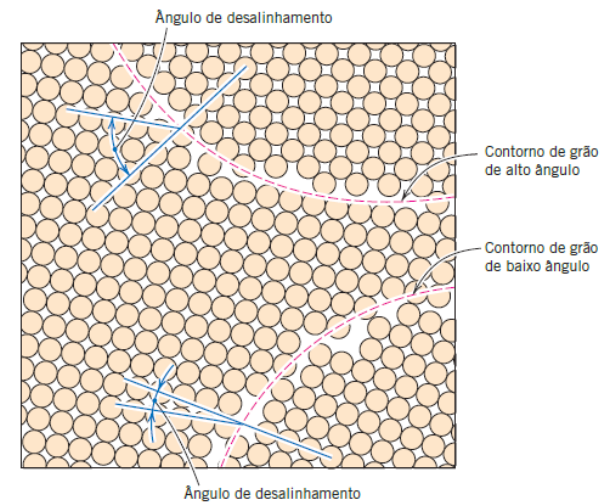
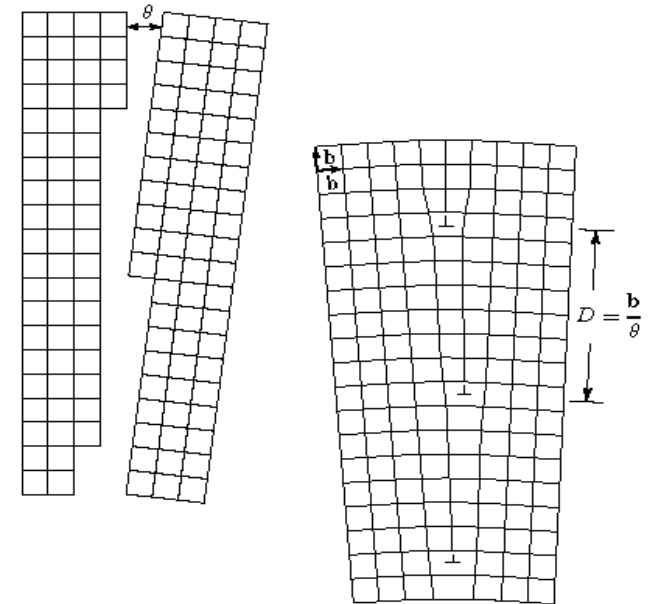


Figura 4.7 Diagrama esquemático mostrando contornos de grão de baixo e de alto ângulo e as posições atômicas adjacentes.

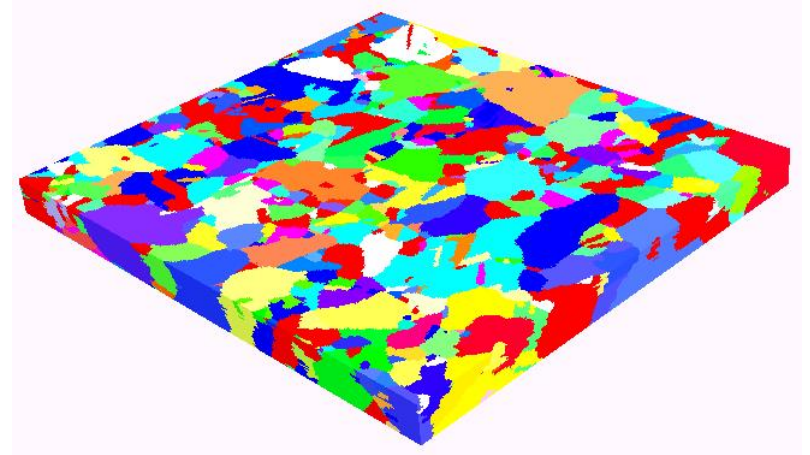
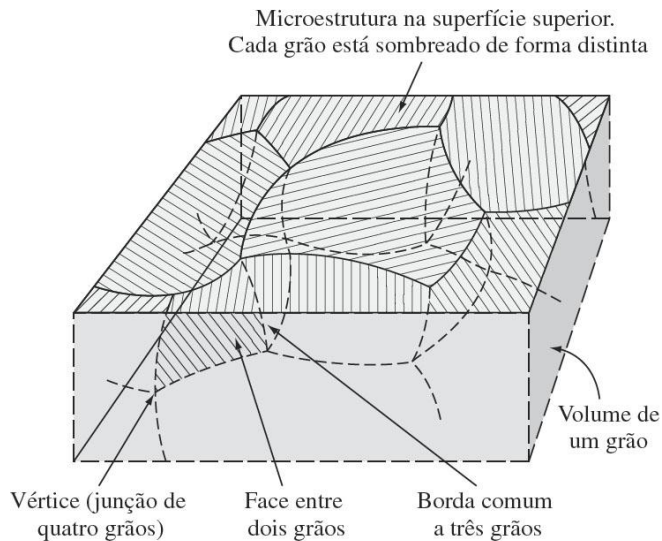


Contornos de grão

Os átomos estão ligados de maneira menos regular e menos compacta ao longo de um contorno de grão – magnitude da energia é função do grau de desorientação – maior para contornos de alto ângulo;

Devido à sua energia mais alta e mais aberta (menos compacta), os cg são regiões mais favoráveis à nucleação e ao crescimento de precipitados – favorece também a difusão mais rápida por esta região.

O contorno de grão limita a deformação plástica, visto dificultam o movimento das discordâncias;





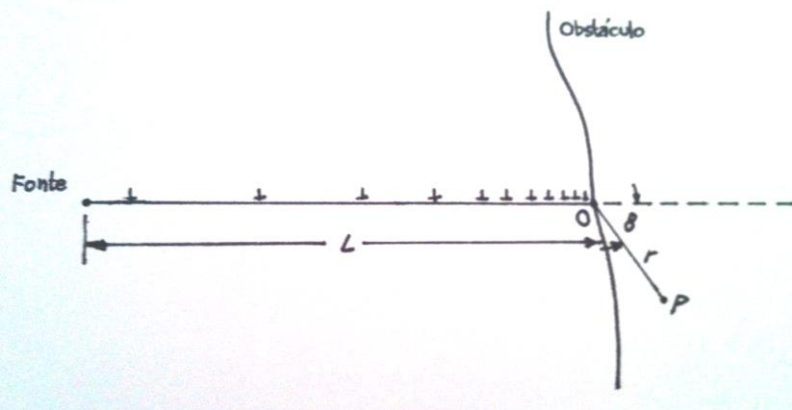
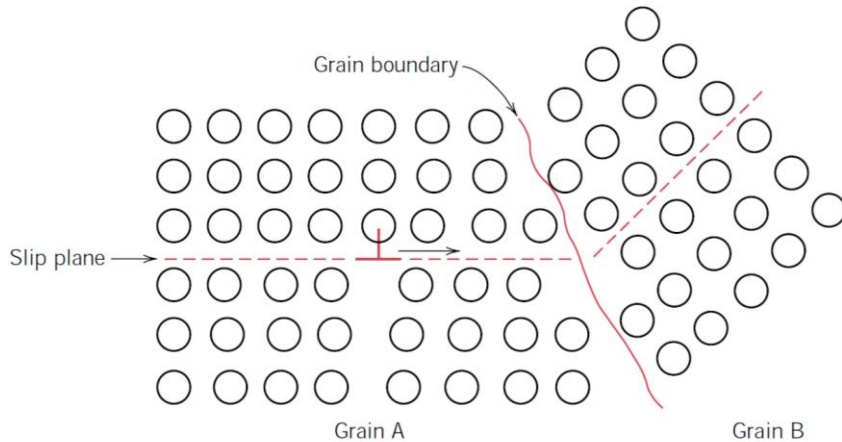
Mecanismos de aumento de resistência dos metais

1. Aumento da resistência por adição de elemento de liga (formação de solução sólida ou precipitação de fases)
2. Aumento da resistência por redução do tamanho de grão
3. Aumento da resistência por encruamento
4. Aumento da resistência por tratamento térmico (transformação de fase)

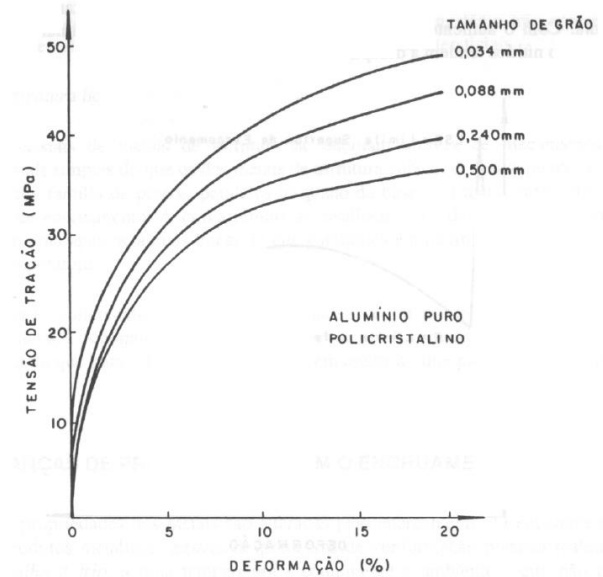
O papel do contorno de grão

O papel do contorno de grão na causa da deformação heterogênea e na introdução do deslizamento múltiplo

Devido as diferentes orientações cristalinas presentes, resultantes do grande número de grãos, as direções de escorregamento das discordâncias variam de grão para grão



Influência da tamanho de grão na tensão de escoamento



Empilhamento de discordâncias



Dependência da tensão de escoamento com o tamanho de grão

EQUAÇÃO DE HALL-PETCH

$$\sigma_{esc} = \sigma_0 + K_e (d)^{-1/2}$$

σ_0 e K_e são constantes

σ_0 = tensão de atrito oposta ao movimento das discordâncias

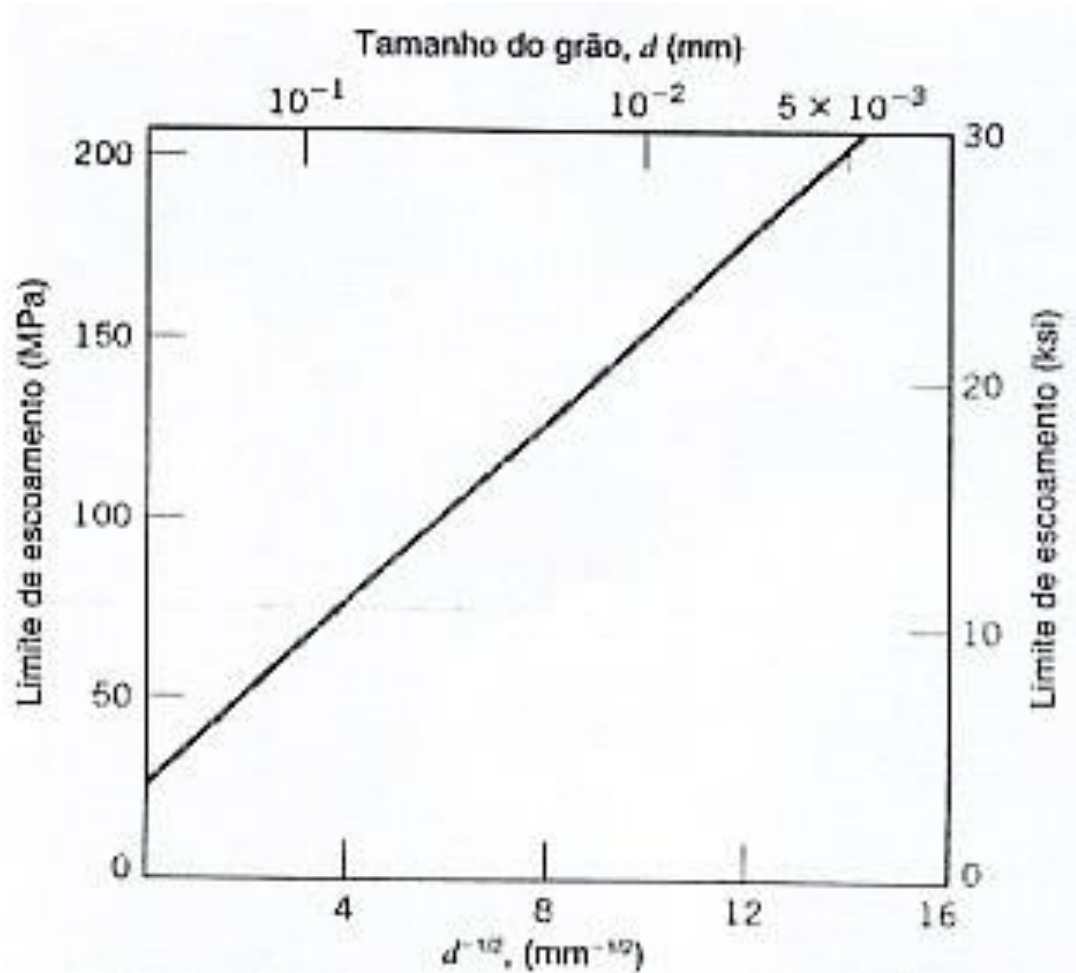
K_e = constante relacionada com o empilhamento das discordâncias

d = tamanho de grão

Essa equação não é válida para grãos muito grosseiros ou muito pequenos

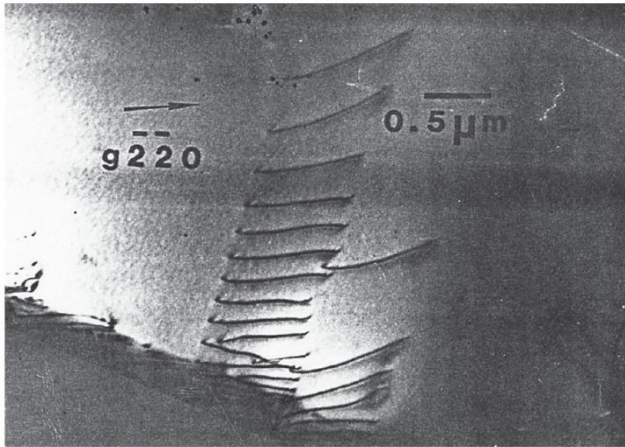


Dependência do limite de escoamento com o tamanho de grão

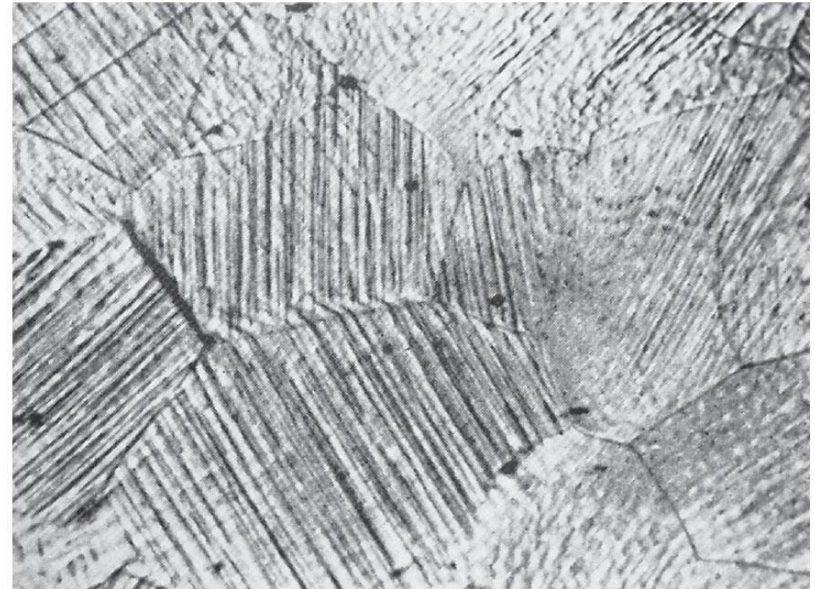




Deformação Plástica em Policristais



Discordâncias empilhadas em um contorno de grão, observadas em uma folha fina de aço inoxidável utilizando microscopia eletrônica de transmissão. (Ampliação 20.000 × .)

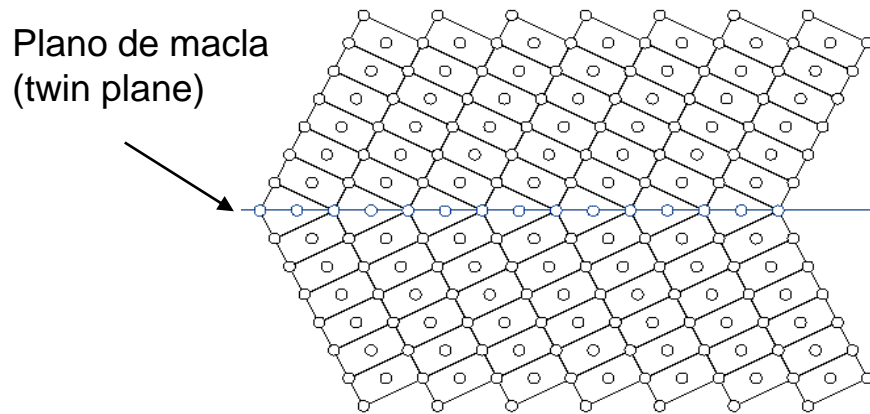


Alumínio policristalino deformado plasticamente. Note-se que as bandas de escorregamento são paralelas no interior do grão, mas que há descontinuidade nos contornos. (Ampliação 60 × .)



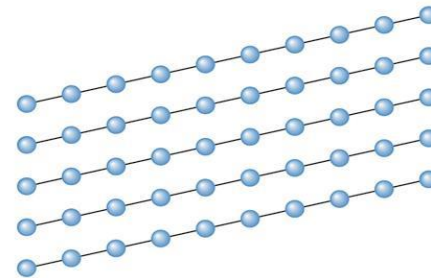
Macla (twin)

É um tipo especial de contorno - simetria específica em espelho da rede cristalina;
Uma força de cisalhamento pode produzir, por deslocamentos atômicos tal que um dos lados de um plano os átomos ficam localizados em posições de imagem em espelho em relação aos átomos no outro lado do plano.

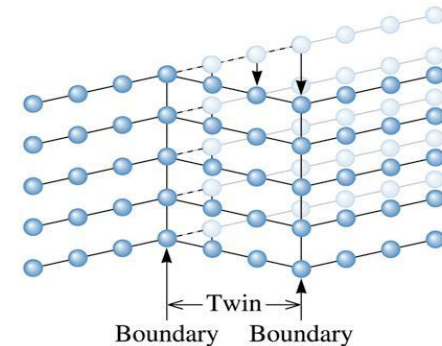


(c) 2003 Brooks/Cole
Publishing / Thomson
Learning

Formadas pela aplicação de
tensão mecânica ou em
tratamentos térmicos de
recozimento (annealing)



(a)



(b)

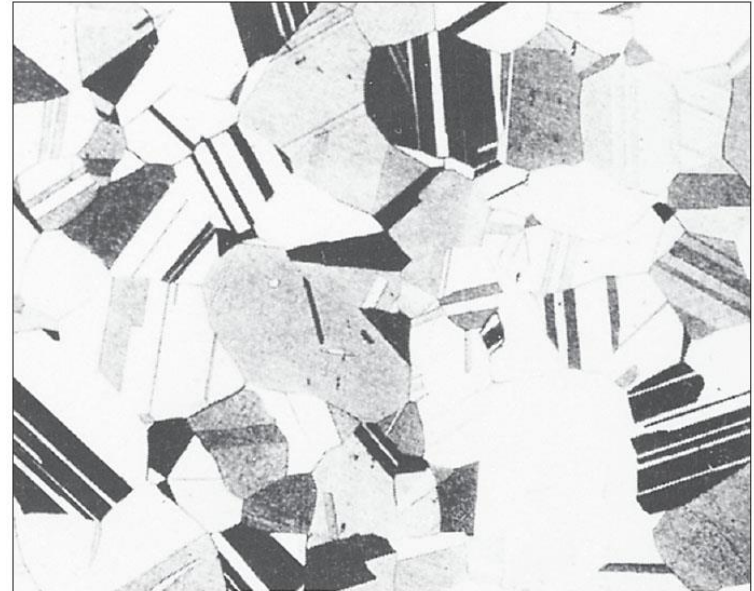


Contorno de Macla

Maclas de deformação:

- mais comum em CCC e HC
- auxilia no processo de deformação quando o processo de escorregamento está restrito;
- muito importante pois reorienta alguns planos, de forma a colocar novos sistemas de escorregamento em orientações favoráveis.

Maclas de recozimento: CFC



Contornos de macla em estrutura de grãos de bronze (Cu-Sn).

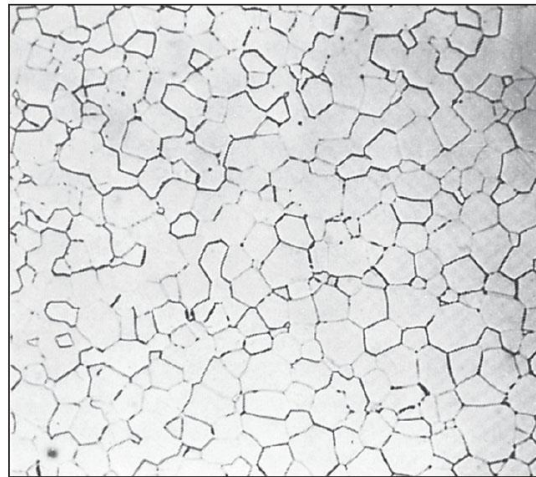


Técnicas Microscópicas

MO



(a)



(b)

(R.E. Gardner e G.W. Robinson, J. Am. Ceram. Soc., 45: 46 (1962).)

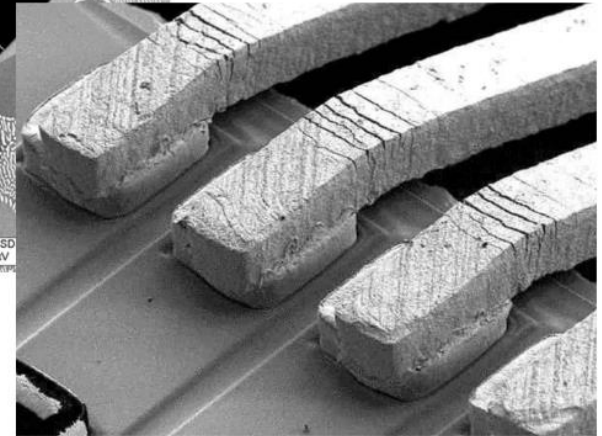
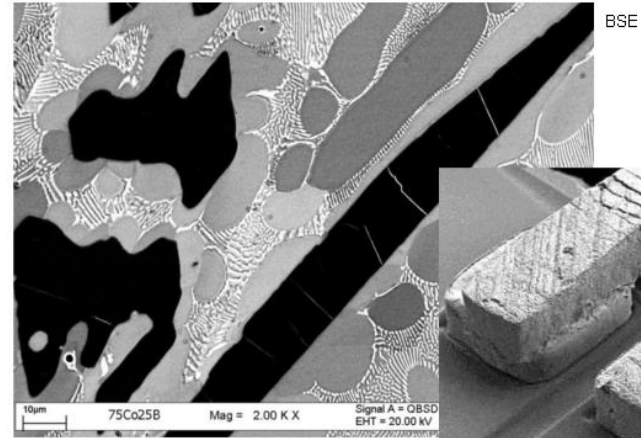


Contornos de grão na superfície de amostras polidas e atacadas quimicamente, observadas em microscopia óptica. (a) Aço com baixo teor de carbono (Ampliação 100 \times). (b) óxido de magnésio (Ampliação 225 \times).



Técnicas Microscópicas

MEV

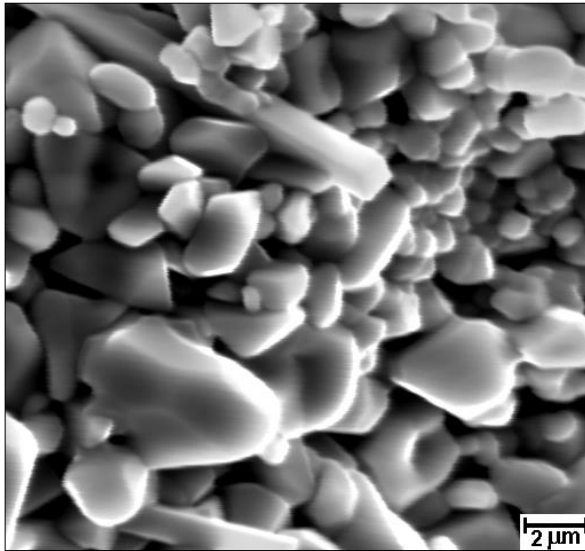


S. Pacomik DCIMM PUC-Rio

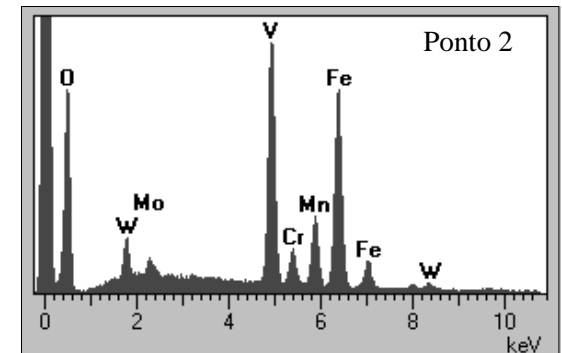
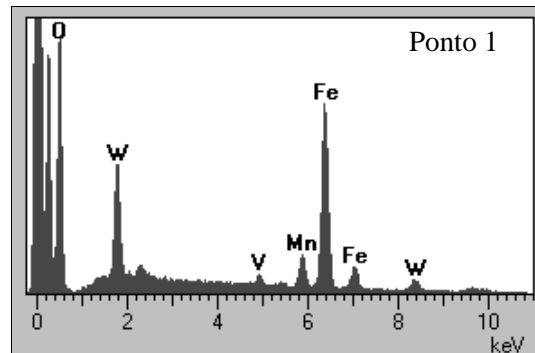
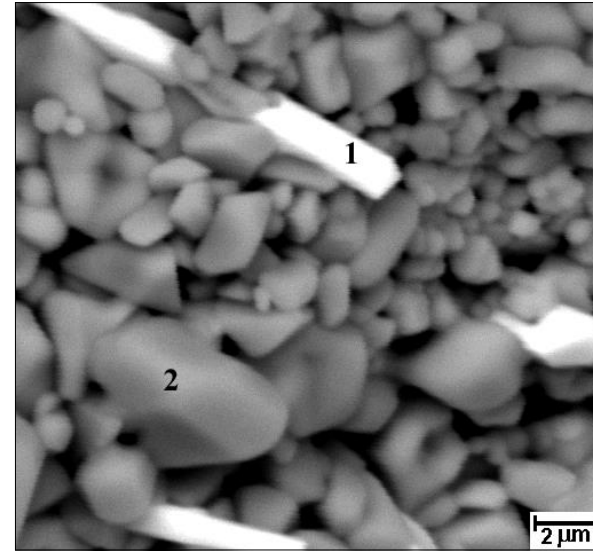


Imagens de MEV

Elétrons Secundários (SE)



Elétrons Retro-espalhados (BSE)



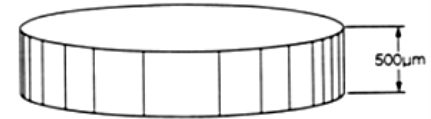


Técnicas Microscópicas

MET



Disc Preparation

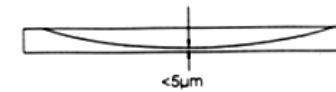


(bulk, plan view, cross sections and small objects)

Disc grinding

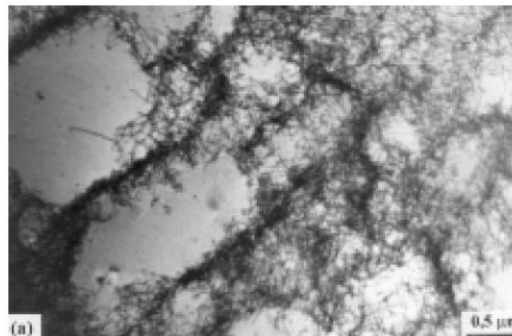
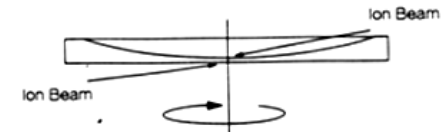


Dimpling



(Si for cross sections)

Low Angle
Ion milling





Referências Bibliográficas

- 1) Askeland, D. R.; Phule, P. P. Ciência e engenharia dos materiais. São Paulo: CENGAGE, 2008;
- 2) Callister Jr., W. D. Fundamentos da ciência e engenharia de materiais. Rio de Janeiro: LTC Editora, 2006;
- 3) Callister Jr., W. D. Ciência e engenharia de materiais. Rio de Janeiro: LTC Editora, 2008;
- 4) Shackelford, J. E. Ciência dos materiais. São Paulo: Prentice Hall, 2008;
- 5) Smith, W. Hashemi, J. Fundamentos de Engenharia e Ciência dos Materiais – MacGrawHill